

ВРЕМЕННАЯ МОДЕЛЬ RS-ЗАЩЁЛКИ, РЕАЛИЗОВАННОЙ КАК ИСТОЧНИК СЛУЧАЙНОСТИ НА ПЛИС ТИПА FPGA

Кайкы М. Н., Иванюк А. А.

Кафедра информатики, Белорусский государственный университет информатики и радиоэлектроники
Минск, Республика Беларусь
E-mail: kaikumykhailo@gmail.com, ivaniuk@bsuir.by

Исследуется метастабильность RS-зашёлок с различными значениями технологических задержек на ПЛИС типа FPGA как источник энтропии для генераторов случайных чисел. Показывается зависимость вероятности перехода RS-зашёлки в метастабильное состояние от введенного коэффициента симметрии.

ВВЕДЕНИЕ

Разработка генераторов истинно случайных чисел (ГИСЧ) остается актуальной задачей в области криптографии и защиты информации. Одним из перспективных физических источников энтропии для ГИСЧ является метастабильное состояние цифровых элементов, в частности, RS-зашелок, где бистабильная система хаотическим образом сходится к одному из двух устойчивых состояний [1]. Однако использование данного явления сопряжено с фундаментальной проблемой: метастабильность изначально рассматривалась в цифровой схемотехнике как нежелательное и аномальное явление, что обусловило недостаточность существующих функциональных и временных моделей для ее точного прогнозирования и анализа. Стандартные детерминистические модели на языках описания аппаратуры (HDL) не способны адекватно описать вероятностную природу и временные параметры метастабильных процессов. В связи с этим, необходимость разработки комплексной методики функционального моделирования метастабильности в RS-зашелках становится важной.

I. РЕАЛИЗАЦИЯ RS-ЗАЩЁЛКИ НА ТЕХНОЛОГИИ FPGA

На рисунке 1 изображена структурная схема разработанного аппаратного обеспечения для проведения исследования. Для реализации структур типа RS-зашёлка на базе примитивов FPGA от компании Xilinx семейства Zynq7000 используется два блока типа 6-ти входовой таблицы истинности (генераторов переключательной функции), связанных друг с другом при помощи обратной связи с образованием комбинационной петли и выполняющих функцию "И-НЕ" ($NAND2$). При этом два LUT6 абсолютно идентичны друг другу функционально, количество зашёлок равнялось $N = 1024$. Для формирования управляющих сигналов на входы Set/Reset зашёлок был разработан управляющий автомат, при этом стоит отметить, что управляющих регистров в схеме всего два – один для формирования сигнала Set, второй для формирования сигнала Reset, что позволяет сформировать 2048 технологически уникальных задержек распространения управляющих сигналов до каждого из экземпляров RS-зашёлок (δ_{13}, δ_{23}).

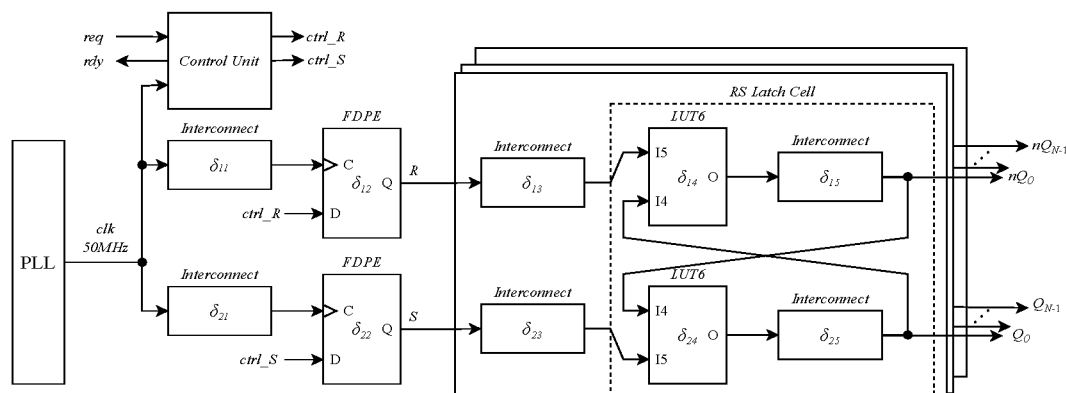


Рис. 1 – Структура стенда для исследования RS-зашелок с задержками на кристалле ПЛИС

II. ВРЕМЕННОЕ МОДЕЛИРОВАНИЕ RS-ЗАЩЁЛКОК

В ходе проведения моделирования разрабатываемой схемы после процесса имплементации на кристалле FPGA в среде моделирования QuestaSim были получены значения уникальных задержек компонентов схемы ($\delta_{11}, \delta_{12}, \delta_{13}, \delta_{14}, \delta_{15}, \delta_{21}, \delta_{22}, \delta_{32}, \delta_{24}, \delta_{25}$). В процессе моделирования на все 1024 защёлки подавалась последовательность входных воздействий, которая приводила защёлки в последовательность состояний (*Reset, Store, Forbidden, Store*), которое способно привести RS-зашёлку в метастабильное состояние. В результате моделирования было получено 1024 различных и уникальных значения счётчиков C , которые фиксировали количество нарастающих и спадающих фронтов на выходе Q для всех 1024 защёлок и были реализованы в тестовом окружении, обладая нулевыми задержками переключения. При $C = \{0, 2\}$ – мы считаем что RS-зашёлка стабильно перешла из состояния *Forbidden* в состояние *Store* и сохранила состояние 0 или 1, а при $C > 2$ наблюдается осцилляция на выходе защёлки Q . Всего было зафиксировано 76,85% стабильных защёлок и 23,15% нестабильных. При этом стоит отметить, что при фиксированном времени моделирования, не все значения C были идентичны друг другу, что говорит о разном периоде осцилляции на выходах RS-зашёлок. Также было обнаружено что некоторые нестабильные RS-зашёлки переходили в устойчивое состояние через некоторое время моделирования, соответственно осцилляция на выходе являлась затухающей, такое же поведение защёлок приведено в работе [2].

III. ВЛИЯНИЕ СИММЕТРИИ В RS-ЗАЩЁЛКЕ НА ЕЁ СТАБИЛЬНОСТЬ

Введем коэффициент симметрии (K), который будем рассчитывать по формуле 1.

$$K = \frac{\delta_{upper} - \delta_{lower}}{\max(\delta_{upper}, \delta_{lower})}, \quad (1)$$

где $\delta_{upper} = \delta_{11} + \delta_{12} + \delta_{13} + \delta_{14} + \delta_{15}$,
 $\delta_{lower} = \delta_{21} + \delta_{22} + \delta_{23} + \delta_{24} + \delta_{25}$.

Результат рассчёта коэффициентов K для всех 1024 RS-зашёлок изображен на рисунке 2, при этом синим цветом отображены защёлки, ответы которых были стабильны, а красным – нестабильные защёлки с осцилляцией на выходе Q . Как видно из рисунка 2, при коэффициенте K стремящемся к 0 количество осциллирующих (нестабильных) RS-зашёлок увеличивается, при этом нестабильные защёлки фиксировались на промежутке $K = [0, 121; -0, 151]$, полученная зависимость позволяет сделать вывод: способность RS-зашёлок переходить в состояние осцилляции на выходах Q , nQ – зависит от степени симметрии при построении RS-зашёлки и схемы её управления.

IV. ЗАКЛЮЧЕНИЕ

В ходе исследования был введен коэффициент симметрии в RS-зашёлках, разработанных по технологии FPGA, было обнаружено что при коэффициенте симметрии стремящегося к 0 – вероятность перехода в состояние метастабильности RS-зашёлки повышается. Дальнейшие работы направлены на исследование изменения коэффициента симметрии от технологических вариаций и эмпирическое доказательство полученных результатов на реальных экземплярах FPGA.

V. СПИСОК ЛИТЕРАТУРЫ

1. Sunar, B. A Provably Secure True Random Number Generator with Built-In Tolerance to Active Attacks / B. Sunar, W. Martin, D. Stinson // Computers, IEEE Transactions on. – 2007. – Vol. 56. – P. 109–119.
2. Kacprzak, T. Analysis of Oscillatory Metastable Operation of an RS Flip-Flop / T. Kacprzak // Solid-State Circuits, IEEE Journal of. – 1988. – Vol. 23. – P. 260–266.

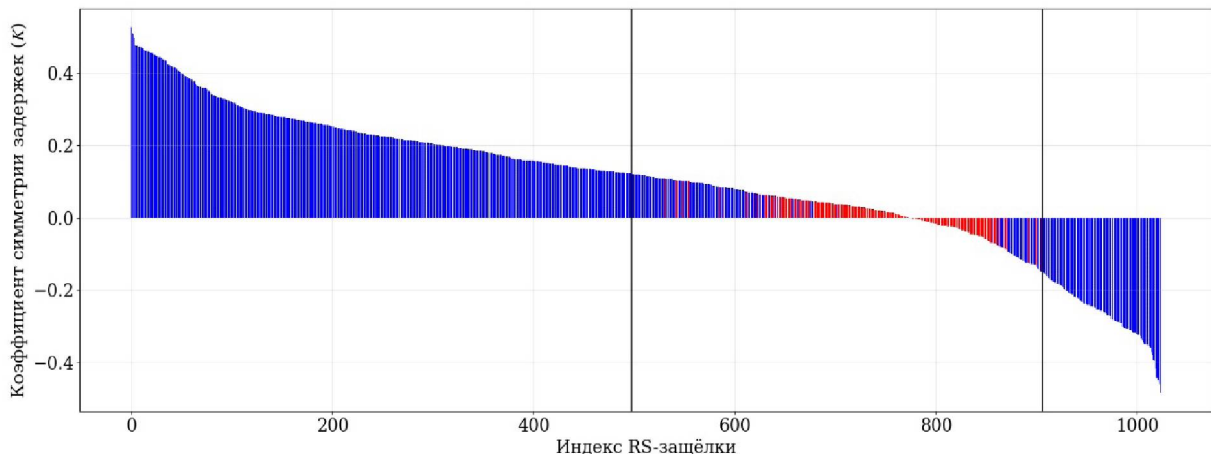


Рис. 2 – Зависимость стабильности RS-зашёлок от коэффициента симметрии